

Mariusz Poński<sup>1</sup>

## WYMIAROWANIE PRZEKROJÓW POZIOMYCH KOMINÓW ŻELBETOWYCH W STANIE GRANICZNYM NOŚNOŚCI WG PN-EN - ALGORYTM OBLICZENIOWY

### Wprowadzenie

Wprowadzenie norm europejskich do praktyki projektowania stworzyło potrzebę zbudowania algorytmów obliczeniowych opartych na nowych założeniach zawartych w tych opracowaniach. Dotychczasowe podejście stosowane w polskich normach opierało się na podaniu gotowego zbioru zależności, zestawionych w odpowiedniej kolejności. Zadaniem projektanta było natomiast przeprowadzenie obliczeń na podstawie takiego algorytmu i sprawdzenie odpowiednich warunków granicznych. Aktualne podejście, stosowane w normach europejskich, przypomina w wielu przypadkach zbiór zaleceń oraz wytycznych. Zadaniem projektanta jest natomiast zbudowanie odpowiedniego algorytmu obliczeniowego. W przypadku norm europejskich dotyczących projektowania kominów żelbetowych [1, 2], wprowadzonych w języku angielskim, można napotkać pewną trudność w ich wykorzystaniu do wymiarowania tychże konstrukcji. Przedmiotowa trudność dotyczy głównie konieczności korzystania z dokumentu nieprzetłumaczonego na język polski oraz konieczności wykorzystania dodatkowych źródeł w celu zbudowania odpowiedniego narzędzia w postaci algorytmu obliczeniowego. Istnieją obecnie nieliczne polskojęzyczne opracowania związane z ww. tematyką. W tym miejscu należy wymienić prace Lechmana [3-5]. W pracach tych przedstawiono spójne podejście do wymiarowania kominów żelbetowych, podając szereg niezbędnych założeń oraz wzorów. Niniejsza praca ma na celu usystematyzowanie zagadnień związanych z metodą wymiarowania przekrojów poziomych w stanie granicznym nośności przez podanie zasad budowania odpowiednich nomogramów dla dowolnego gatunku stali zbrojeniowej.

---

<sup>1</sup> Politechnika Częstochowska, Wydział Budownictwa, ul. Akademicka 3, 42-200 Częstochowa, e-mail: mponski@bud.pcz.czyst.pl

## 1. Równania żelbetowego przekroju pierścieniowego w stanie granicznym nośności

W celu zbudowania algorytmu do wyznaczania granicznych wartości siły osiowej i momentu zginającego należy zestawić szereg zależności opartych na równaniach równowagi sił przekrojowych. Równania przedstawione poniżej bazują na rozwiązaniu Lechmana [3-5], w związku z czym opierają się na tych samych nieliniowych związkach fizycznych oraz geometrycznych. W ww. rozwiązaniu rozpatrywano również przypadek występowania jednego lub wielu otworów w przekroju. W niniejszej pracy to zagadnienie zostało pominięte, ponieważ, zdaniem autora, rozszerzenie niżej zaprezentowanego algorytmu do takiego przypadku jest stosunkowo proste. Przyjęto również założenie, że promień  $r_s$  określający położenie środków ciężkości stali zbrojeniowej jest równy promieniowi środkowemu pierścienia  $r_m$  (rys. 1, 2). Podobnie jak w pracy [5] przyjęto uproszczenie, że wpływ stosunku grubości ścianki pierścienia do promienia  $R$  można pominąć. Zgodnie z metodą stanów granicznych, przedstawianą w normach żelbetowych, przyjęto, że wyczerpanie nośności ze względu na siłę osiową i moment zginający dla mimośrodowo ściskanego przekroju pierścieniowego następuje w momencie pojawienia się granicznych odkształceń betonu wywołanych ściskaniem  $\varepsilon_{cu} = -2,0\%$ , lub granicznych odkształceń stali wywołanych rozciąganiem  $\varepsilon_{su} = 5,0\%$  (konstrukcje istniejące),  $\varepsilon_{su} = 10,0\%$  (konstrukcje projektowane) [5].

W celu zbudowania odpowiednich krzywych interakcji poniżej przedstawiono trzy zestawy równań. Pierwszy zestaw dotyczy przekroju zginanego przy stałej wartości odkształcenia betonu  $\varepsilon_{cu} = -2,0\%$  (rys. 1). Drugi zestaw dotyczy również zginania, ale przy stałej wartości odkształcenia stali rozciąganej  $\varepsilon_{su} = 5,0\%$  (lub  $\varepsilon_{su} = 10,0\%$ ). Trzeci zestaw dotyczy natomiast przekroju, dla którego siła ściskająca znajduje się wewnątrz rdzenia przekroju (występują naprężenia i odkształcenia jednego znaku, rys. 2).

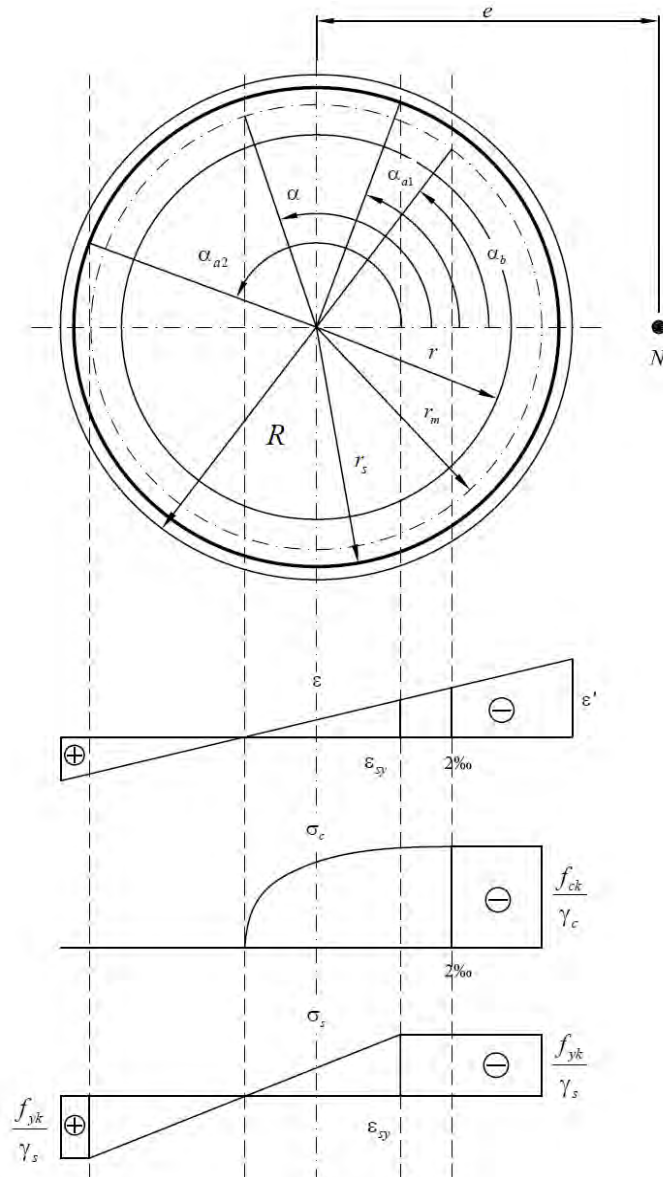
Pierwszy zakres zginania:

Bezwymiarowa graniczna osiowa siła podłużna:

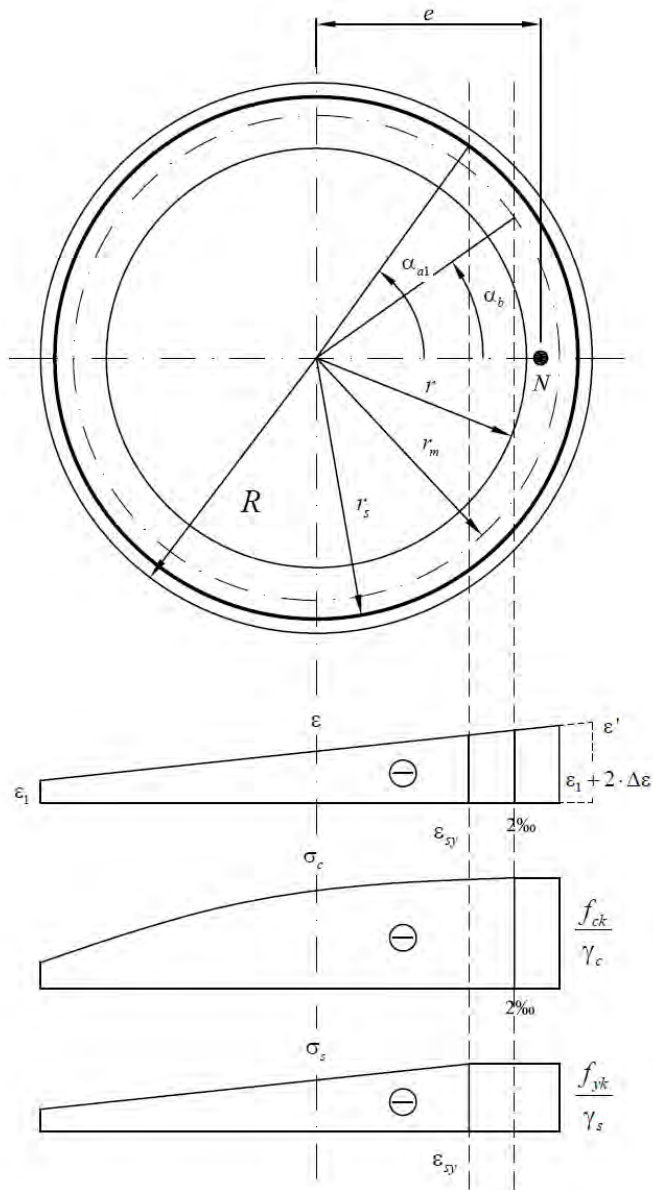
$$n_{Rd}(\varepsilon_{su}, \mu) = -\frac{1}{\pi} \left[ \frac{1-\mu}{\gamma_c} \cdot \varepsilon'_\alpha(\varepsilon_{su}) \cdot (X_1(\varepsilon_{su}) + 0,25 \cdot \varepsilon'_\alpha(\varepsilon_{su}) \cdot X_2(\varepsilon_{su})) \right] + \mu \frac{f_{yk}}{f_{ck}} \left[ -\frac{1}{\gamma_s} \alpha_{a1}(\varepsilon_{su}) + \frac{1}{\varepsilon_{ss}} \varepsilon'_\alpha(\varepsilon_{su}) \cdot X_3(\varepsilon_{su}) + \frac{1}{\gamma_s} (\pi - \alpha_{a2}(\varepsilon_{su})) \right] \quad (1)$$

Bezwymiarowy graniczny moment zginający:

$$m_{Rd}(\varepsilon_{su}, \mu) = -\frac{1}{\pi} \left[ 0,5 \cdot \frac{1-\mu}{\gamma_c} \cdot \varepsilon'_\alpha(\varepsilon_{su}) \cdot (Y_1(\varepsilon_{su}) + 0,25 \cdot \varepsilon'_\alpha(\varepsilon_{su}) \times \right. \\ \left. \times Y_2(\varepsilon_{su})) \right] + 0,5 \cdot \mu \frac{f_{yk}}{f_{ck}} \left[ -\frac{1}{\gamma_s} \sin(\alpha_{a1}(\varepsilon_{su})) + \frac{1}{\varepsilon_{ss}} \varepsilon'_\alpha(\varepsilon_{su}) \cdot X_3(\varepsilon_{su}) + \right. \\ \left. -\frac{1}{\gamma_s} \sin(\alpha_{a2}(\varepsilon_{su})) \right] \quad (2)$$



Rys. 1. Schemat geometryczny zginanego przekroju żelbetowego pierścieniowego oraz rozkład odkształceń i naprężeń wg pracy [5]



Rys. 2. Schemat geometryczny ściskanego przekroju żelbetowego pierścieniowego oraz rozkład odkształceń i naprężeń wg pracy [5]

Drugi zakres zginania:

Bezwymiarowa graniczna osiowa siła podłużna:

$$n_{Rd,II}(\varepsilon'_{II}, \varepsilon_{su}, \mu) = -\frac{1}{\pi} \left[ \frac{1-\mu}{\gamma_c} \cdot \varepsilon'_{\alpha,II}(\varepsilon_{su}, \varepsilon'_{II}) \cdot (X_1(\varepsilon_{su}) + 0,25 \times \right. \\ \left. \times \varepsilon'_{\alpha,II}(\varepsilon_{su}, \varepsilon'_{II}) \cdot X_2(\varepsilon_{su})) \right] + \mu \frac{f_{yk}}{f_{ck}} \left[ -\frac{1}{\gamma_s} \alpha_{a1}(\varepsilon_{su}) + \frac{1}{\varepsilon_{ss}} \varepsilon'_{\alpha,II}(\varepsilon_{su}, \varepsilon'_{II}) \times \right. \\ \left. \times X_3(\varepsilon_{su}) + \frac{1}{\gamma_s} (\pi - \alpha_{a2}(\varepsilon_{su})) \right] \quad (3)$$

Bezwymiarowy graniczny moment zginający:

$$m_{Rd,II}(\varepsilon'_{II}, \varepsilon_{su}, \mu) = -\frac{1}{\pi} \left[ 0,5 \cdot \frac{1-\mu}{\gamma_c} \cdot \varepsilon'_{\alpha,II}(\varepsilon_{su}, \varepsilon'_{II}) \cdot (Y_1(\varepsilon_{su}) + \right. \\ \left. + 0,25 \cdot \varepsilon'_{\alpha,II}(\varepsilon_{su}, \varepsilon'_{II}) \cdot Y_2(\varepsilon_{su})) \right] + 0,5 \cdot \mu \frac{f_{yk}}{f_{ck}} \left[ -\frac{1}{\gamma_s} \sin(\alpha_{a1}(\varepsilon_{su})) + \right. \\ \left. + \frac{1}{\varepsilon_{ss}} \varepsilon'_{\alpha,II}(\varepsilon_{su}, \varepsilon'_{II}) \cdot X_3(\varepsilon_{su}) - \frac{1}{\gamma_s} \sin(\alpha_{a2}(\varepsilon_{su})) \right] \quad (4)$$

Przekrój ściskany (naprężenia i odkształcenia jednego znaku):

Bezwymiarowa graniczna osiowa siła podłużna:

$$n_{Rd,comp}(\varepsilon_{c2}, \mu) = -\frac{1}{\pi} \left[ \frac{1-\mu}{\gamma_c} \left[ -\alpha_{b,comp}(\varepsilon_{c2}) + \left( \varepsilon_1(\varepsilon_{c2}) \cdot \left( 1 + \frac{1}{4} \varepsilon_1(\varepsilon_{c2}) \right) + \right. \right. \right. \\ \left. \left. + 0,5 \cdot \Delta\varepsilon(\varepsilon_{c2}) \cdot (2 + \varepsilon_1(\varepsilon_{c2}) + 0,5 \cdot \Delta\varepsilon(\varepsilon_{c2})) \right) \right] \cdot (\pi - \alpha_{b,comp}(\varepsilon_{c2})) + \\ -0,5 \cdot \Delta\varepsilon(\varepsilon_{c2}) \cdot (2 + \varepsilon_1(\varepsilon_{c2}) + \Delta\varepsilon(\varepsilon_{c2})) \cdot \sin(\alpha_{b,comp}(\varepsilon_{c2})) + \frac{1}{4} (\Delta\varepsilon(\varepsilon_{c2}))^2 \times \\ \times \left[ 0,5 \cdot \pi - \alpha_{b,comp}(\varepsilon_{c2}) - 0,25 \cdot \sin(2 \cdot \alpha_{b,comp}(\varepsilon_{c2})) \right] + \mu \frac{f_{yk}}{f_{ck}} \times \\ \left[ -\frac{1}{\gamma_s} \cdot \alpha_{a1}(\varepsilon_{c2}) + \frac{1}{\varepsilon_{ss}} \cdot (\varepsilon_1(\varepsilon_{c2}) - \Delta\varepsilon(\varepsilon_{c2})) \cdot \alpha_{a1}(\varepsilon_{c2}) - \Delta\varepsilon(\varepsilon_{c2}) \times \right. \\ \left. \times \sin(\alpha_{a1}(\varepsilon_{c2})) \right] \right] \quad (5)$$

Bezwymiarowy graniczny moment zginający:

$$\begin{aligned}
 m_{Rd,comp}(\varepsilon_{c2}, \mu) = & -\frac{1}{\pi} \left[ \frac{1-\mu}{2 \cdot \gamma_c} \left[ -\sin(\alpha_{b,comp}(\varepsilon_{c2})) + (\varepsilon_1(\varepsilon_{c2}) \times \right. \right. \\
 & \times \left( 1 + \frac{1}{4} \varepsilon_1(\varepsilon_{c2}) \right) - 0,5 \cdot \Delta\varepsilon(\varepsilon_{c2}) \cdot (2 + \varepsilon_1(\varepsilon_{c2}) + 0,5 \cdot \Delta\varepsilon(\varepsilon_{c2})) \left. \right] \times \\
 & \times \sin(\alpha_{b,comp}(\varepsilon_{c2})) + 0,5 \cdot \Delta\varepsilon(\varepsilon_{c2}) \cdot (2 + \varepsilon_1(\varepsilon_{c2}) + \Delta\varepsilon(\varepsilon_{c2})) \left. \right] \times \\
 & \times \left[ 0,5 \cdot (\pi - \alpha_{b,comp}(\varepsilon_{c2})) - 0,25 \cdot \sin(2 \cdot \alpha_{b,comp}(\varepsilon_{c2})) \right] + \frac{1}{4} (\Delta\varepsilon(\varepsilon_{c2}))^2 \times \\
 & \times \left[ -\sin(\alpha_{b,comp}(\varepsilon_{c2})) + \frac{1}{3} \cdot \sin(\alpha_{b,comp}(\varepsilon_{c2}))^3 \right] \left. \right] + \\
 & + 0,5 \cdot \mu \frac{f_{yk}}{f_{ck}} \cdot \left[ -\frac{1}{\gamma_s} \cdot \sin(\alpha_{a1}(\varepsilon_{c2})) + \frac{1}{\varepsilon_{ss}} \cdot (\varepsilon_1(\varepsilon_{c2}) - \Delta\varepsilon(\varepsilon_{c2})) \times \right. \\
 & \times \left. \left. \sin(\alpha_{a1}(\varepsilon_{c2})) - 0,5 \cdot \Delta\varepsilon(\varepsilon_{c2}) \cdot \alpha_{a1}(\varepsilon_{c2}) - 0,25 \cdot \Delta\varepsilon(\varepsilon_{c2}) \cdot \sin(\alpha_{a1}(\varepsilon_{c2})) \right] \right] \quad (6)
 \end{aligned}$$

W równaniach (1)-(6) użyto następujących współczynników oraz funkcji:

– kąt określający położenie osi obojętnej przekroju:

$$\alpha(\varepsilon_{su}) = \arccos\left(\frac{\varepsilon_{su} - 2}{\varepsilon_{su} + 2}\right) \quad (7)$$

– kąt określający granicę strefy uplastycznienia betonu:

$$\alpha_b(\varepsilon_{su}) = \arccos\left(\cos(\alpha(\varepsilon_{su})) - 2 \cdot \frac{1 - \cos(\alpha(\varepsilon_{su}))}{\varepsilon'_\alpha(\varepsilon_{su})}\right) \quad (8)$$

gdzie:

$$\varepsilon'_\alpha(\varepsilon_{su}) = \frac{\varepsilon'}{1 - \cos(\alpha(\varepsilon_{su}))} \quad (9)$$

– odkształcenie odpowiadające charakterystycznej granicy plastyczności stali:

$$\varepsilon_{ss} = \frac{f_{yk}}{E_s} \quad (10)$$

– odkształcenie odpowiadające obliczeniowej granicy plastyczności stali:

$$\varepsilon_{sy} = \frac{\varepsilon_{ss}}{\gamma_s} \quad (11)$$

przy czym  $f_{yk}$  to charakterystyczna granica plastyczności stali zbrojeniowej,  $E_s$  to moduł Younga stali zbrojeniowej, a  $\gamma_s$  to częściowy współczynnik bezpieczeństwa dotyczący stali,

- kąt określający granicę strefy uplastycznienia stali ściskanej:

$$\alpha_{a1}(\varepsilon_{su}) = \arccos\left(\cos(\alpha(\varepsilon_{su})) - \varepsilon_{sy} \cdot \frac{1}{\varepsilon'_{\alpha}(\varepsilon_{su})}\right) \quad (12)$$

- kąt określający granicę strefy uplastycznienia stali rozciąganej:

$$\alpha_{a2}(\varepsilon_{su}) = \arccos\left(\cos(\alpha(\varepsilon_{su})) + \varepsilon_{sy} \cdot \frac{1}{\varepsilon'_{\alpha}(\varepsilon_{su})}\right) \quad (13)$$

- funkcje pomocnicze:

$$X_1(\varepsilon_{su}) = \sin(\alpha(\varepsilon_{su})) - \alpha(\varepsilon_{su}) \cdot \cos(\alpha(\varepsilon_{su})) \quad (14)$$

$$X_2(\varepsilon_{su}) = (0,5 + \cos^2(\alpha(\varepsilon_{su}))) \cdot \alpha(\varepsilon_{su}) - 0,75 \cdot \sin(2 \cdot \alpha(\varepsilon_{su})) \quad (15)$$

$$X_3(\varepsilon_{su}) = \sin(\alpha_{a2}(\varepsilon_{su})) - \sin(\alpha_{a1}(\varepsilon_{su})) - \cos(\alpha(\varepsilon_{su})) \cdot (\alpha_{a2}(\varepsilon_{su}) + \alpha_{a1}(\varepsilon_{su})) \quad (16)$$

$$Y_1(\varepsilon_{su}) = 0,5 \cdot \alpha(\varepsilon_{su}) + 0,25 \cdot \sin(2 \cdot \alpha(\varepsilon_{su})) - \cos(\alpha(\varepsilon_{su})) \cdot \sin(\alpha(\varepsilon_{su})) \quad (17)$$

$$Y_2(\varepsilon_{su}) = (1 + \cos^2(\alpha(\varepsilon_{su}))) \cdot \sin(\alpha(\varepsilon_{su})) + \frac{1}{3} \sin^3(\alpha(\varepsilon_{su})) \cdot \cos(\alpha(\varepsilon_{su})) \cdot (\alpha(\varepsilon_{su}) - 0,5 \cdot \sin(2 \cdot \alpha(\varepsilon_{su}))) \quad (18)$$

$$Y_3(\varepsilon_{su}) = 0,5 \cdot (\alpha_{a2}(\varepsilon_{su}) - \alpha_{a1}(\varepsilon_{su})) + 0,25 \cdot (\sin(2 \cdot \alpha_{a2}(\varepsilon_{su})) + \sin(2 \cdot \alpha_{a1}(\varepsilon_{su}))) - \cos(\alpha(\varepsilon_{su})) \cdot (\sin(\alpha_{a2}(\varepsilon_{su})) - \sin(\alpha_{a1}(\varepsilon_{su}))) \quad (19)$$

- kąt określający granicę strefy uplastycznienia betonu (drugi zakres zginania):

$$\alpha_{b,II}(\varepsilon_{su}, \varepsilon'_{II}) = \arccos\left(\cos(\alpha(\varepsilon_{su})) - 2 \cdot \frac{1 - \cos(\alpha(\varepsilon_{su}))}{\varepsilon'_{\alpha,II}(\varepsilon_{su}, \varepsilon'_{II})}\right) \quad (20)$$

- kąt określający granicę strefy uplastycznienia stali ściskanej (drugi zakres zginania):

$$\alpha_{a1,II}(\varepsilon_{su}, \varepsilon'_{II}) = \arccos\left(\cos(\alpha(\varepsilon_{su})) - \varepsilon_{sy} \cdot \frac{1}{\varepsilon'_{\alpha,II}(\varepsilon_{su}, \varepsilon'_{II})}\right) \quad (21)$$

- kąt określający granicę strefy uplastycznienia stali rozciąganej (drugi zakres zginania):

$$\alpha_{a2,II}(\varepsilon_{su}, \varepsilon'_{II}) = \arccos\left(\cos(\alpha(\varepsilon_{su})) + \varepsilon_{sy} \cdot \frac{1}{\varepsilon'_{\alpha,II}(\varepsilon_{su}, \varepsilon'_{II})}\right) \quad (22)$$

gdzie:

$$\varepsilon'_{\alpha,II}(\varepsilon_{su}, \varepsilon'_{II}) = \frac{\varepsilon'_{II}}{1 - \cos(\alpha(\varepsilon_{su}))} \quad (23)$$

- funkcje pomocnicze (drugi zakres zginania):

$$X_{3,II}(\varepsilon_{su}) = \sin(\alpha_{a2,II}(\varepsilon_{su}, \varepsilon'_{II})) - \sin(\alpha_{a1,II}(\varepsilon_{su}, \varepsilon'_{II})) + \\ - \cos(\alpha(\varepsilon_{su})) \cdot (\alpha_{a2,II}(\varepsilon_{su}, \varepsilon'_{II}) - \alpha_{a1,II}(\varepsilon_{su}, \varepsilon'_{II})) \quad (24)$$

$$Y_{3,II}(\varepsilon_{su}, \varepsilon'_{II}) = 0,5 \cdot (\alpha_{a2,II}(\varepsilon_{su}, \varepsilon'_{II}) - \alpha_{a1,II}(\varepsilon_{su}, \varepsilon'_{II})) + \\ 0,25 \cdot (\sin(2 \cdot \alpha_{a2,II}(\varepsilon_{su}, \varepsilon'_{II})) - \sin(2 \cdot \alpha_{a1,II}(\varepsilon_{su}, \varepsilon'_{II}))) + \\ - \cos(\alpha(\varepsilon_{su})) \cdot (\sin(\alpha_{a2,II}(\varepsilon_{su}, \varepsilon'_{II})) - \sin(\alpha_{a1,II}(\varepsilon_{su}, \varepsilon'_{II}))) \quad (25)$$

- najmniejsze odkształcenie skrajnego włókna przekroju (ściskanie):

$$\varepsilon_1(\varepsilon_{c2}) = \varepsilon_{cu1} - 2 \cdot \Delta\varepsilon(\varepsilon_{c2}) \quad (26)$$

przy czym:

$$\Delta\varepsilon(\varepsilon_{c2}) = \frac{\varepsilon_{cu1} - \varepsilon_{c2}}{2} \quad (27)$$

gdzie  $\varepsilon_{cu1}$  jest graniczną wartością odkształcenia skrajnego włókna przekroju w części bardziej ściskanej, a  $\varepsilon_{c2}$  jest wartością odkształcenia skrajnego włókna w mniej ściskanej części przekroju,

- kąt określający granicę strefy uplastycznienia betonu (ściskanie):

$$\alpha_{b,comp}(\varepsilon_{c2}) = \arccos\left(-\frac{2 + \varepsilon_1(\varepsilon_{c2}) + \Delta\varepsilon(\varepsilon_{c2})}{\Delta\varepsilon(\varepsilon_{c2})}\right) \quad (28)$$



- kąt określający granicę strefy uplastycznienia stali ściskanej (ściskanie):

$$\alpha_{a1}(\varepsilon_{c2}) = \begin{cases} \pi & \text{jeżeli } \operatorname{Re} \left( \arccos \left( -\frac{\varepsilon_{sy} + \varepsilon_1(\varepsilon_{c2}) + \Delta\varepsilon(\varepsilon_{c2})}{\Delta\varepsilon(\varepsilon_{c2})} \right) \right) \geq \pi \\ \arccos \left( -\frac{\varepsilon_{sy} + \varepsilon_1(\varepsilon_{c2}) + \Delta\varepsilon(\varepsilon_{c2})}{\Delta\varepsilon(\varepsilon_{c2})} \right) & \text{w innym przypadku} \end{cases} \quad (29)$$

## 2. Przykład obliczeniowy

Równania przedstawione w pkt. 1 pozwalają na zbudowanie wykresów interakcji  $n_{Rd}$ - $m_{Rd}$  dla dowolnego gatunku stali zbrojeniowej. Dla zilustrowania rezultatów w postaci krzywej interakcji przyjęto następujące dane:

- częściowe współczynniki bezpieczeństwa:

$$\gamma_s = 1,15, \quad \gamma_c = 1,5$$

- moduł Younga dla stali:

$$E_s = 210\,000 \text{ MPa}$$

- charakterystyczne granice plastyczności:

$$f_{yk} = 220 \text{ MPa}, \quad f_{ck} = 12 \text{ MPa}$$

- odkształcenie skrajnych włókien ściskanej strefy przekroju:

$$\varepsilon' = -2\%$$

Dla każdego z trzech zakresów odkształcenia należy przyjąć skończoną liczbę punktów, dla których zostanie obliczona nośność graniczna  $n_{Rd}$  oraz  $m_{Rd}$  (rys. 3). Wartości pośrednie pomiędzy punktami ( $n_{Rd}$ ,  $m_{Rd}$ ) są interpolowane liniowo. W poniższym przykładzie przyjęto podział odcinków w każdym zakresie równy  $n = 21$ , a następnie dla każdej wartości odkształcenia wyznaczono nośność graniczną. Dla pierwszego zakresu zginania przyjęto:

$$(\varepsilon_{su})_i = -\frac{i}{4}, \quad \varepsilon_{su} \in (0,5), \quad i = 0,1,\dots,n-1$$

Dla drugiego zakresu zginania przyjęto:

$$(\varepsilon'_{II})_i = -\frac{i}{10}, \quad \varepsilon'_{II} \in (0,-2), \quad i = 0,1,\dots,n-1$$

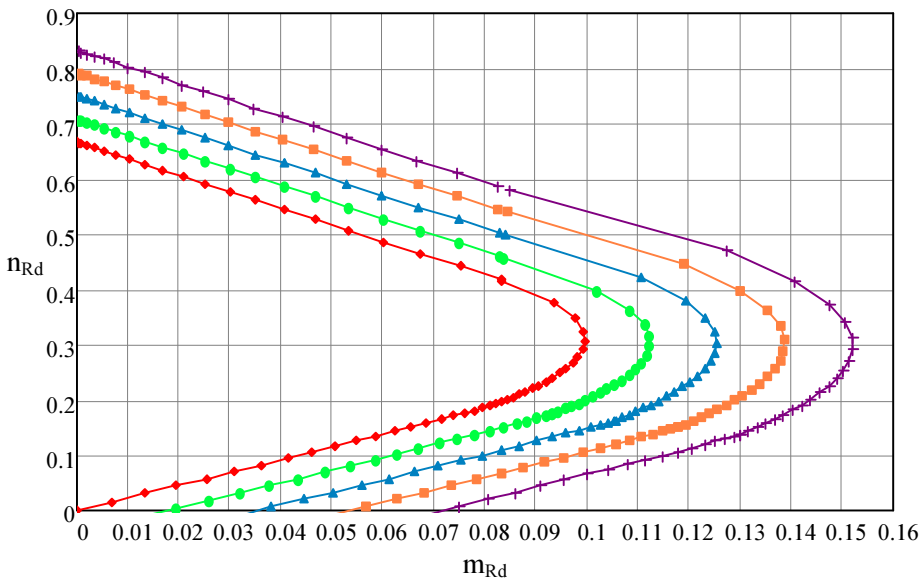
przy czym założono stałą wartość odkształcenia stali rozciąganej  $\varepsilon_{su,II} = 5$ .

Dla trzeciego zakresu - ściskania przyjęto:

$$(\varepsilon_{c2})_i = -\frac{i}{10}, \quad \varepsilon_{c2} \in (0, -2), \quad i = 0, 1, \dots, n-1$$

przy czym dla granicznej wartości odkształcenia skrajnego włókna przekroju w części bardziej ściskanej przyjęto  $\varepsilon_{cu1} = -2$ . Obliczenia przeprowadzono dla 5 krzywych przyjmując różne wartości sprowadzonego stopnia zbrojenia  $\mu \frac{f_{yk}}{f_{ck}}$ , gdzie wartość stopnia zbrojenia zestawiono w następującym wektorze:

$$\mu = [0,0 \quad 0,273 \quad 0,545 \quad 0,818 \quad 1,091]$$



Rys. 3. Nomogram do wymiarowania przekroju żelbetowego pierścieniowego (opis w tekście)

Dla każdej wartości ww. stopnia zbrojenia otrzymano wartości sprowadzonego stopnia zbrojenia (rys. 3):

$$\begin{aligned} \color{red}{\blacklozenge} \mu \frac{f_{yk}}{f_{ck}} = 0,0, \quad \color{green}{\bullet} \mu \frac{f_{yk}}{f_{ck}} = 0,05, \quad \color{blue}{\blacktriangle} \mu \frac{f_{yk}}{f_{ck}} = 0,1, \quad \color{orange}{\blacksquare} \mu \frac{f_{yk}}{f_{ck}} = 0,15 \\ \color{purple}{\blackcross} \mu \frac{f_{yk}}{f_{ck}} = 0,2 \end{aligned}$$

## Podsumowanie

W niniejszym artykule przedstawiono procedurę sporządzania wykresów interakcji  $n_{Rd} - m_{Rd}$  dla dowolnego gatunku stali zbrojeniowej na podstawie szeregu zależności matematycznych. Zaprezentowany sposób postępowania można w łatwy sposób zaimplementować w takich środowiskach jak Microsoft EXCEL czy MathCad, i nie wymaga budowania indywidualnego programu komputerowego. Przedstawione rozwiązanie może okazać się nieocenioną pomocą dla inżynierów projektantów zajmujących się tematyką konstrukcji przemysłowych.

## Literatura

- [1] PN-EN 13084-1:2007 Kominy wolno stojące. Część 1: Wymagania ogólne.
- [2] PN-EN 13084-1:2007 Kominy wolno stojące. Część 2: Kominy betonowe.
- [3] Lechman M., Wyznaczanie naprężeń normalnych w przekroju komina żelbetowego osłabionego otworem z uwzględnieniem fizycznej nieliniowości materiałów, Prace Instytutu Techniki Budowlanej - Kwartalnik 2002, 4, 61-83.
- [4] Lechman M., Instrukcja 459/2010. Wolno stojące kominy żelbetowe. Obliczanie i projektowanie według norm PN-EN, Wydawnictwo Instytutu Techniki Budowlanej, Warszawa 2010.
- [5] Lechman, M., Nośność i wymiarowanie przekrojów pierścieniowych elementów mimośrodowo ściskanych, Wydawnictwo Instytutu Techniki Budowlanej, Warszawa 2006.

## Streszczenie

W pracy przedstawiono metodę wymiarowania pierścieniowych żelbetowych przekrojów poziomych w stanie granicznym nośności przez podanie zasad budowania odpowiednich nomogramów dla dowolnego gatunku stali zbrojeniowej. Zaprezentowano algorytm obliczeniowy oraz przykład liczbowy.

**Słowa kluczowe:** kominy żelbetowe, wymiarowanie, algorytm

## Calculation of horizontal cross-section of concrete chimney at ultimate limit state according to PN-EN - computational algorithm

### Abstract

In the paper calculation method of horizontal cross-section of concrete chimney at ultimate limit state is presented. The principles of building a suitable nomograms for any grade of steel are shown. Calculation algorithm and a numerical example are given.

**Keywords:** concrete chimneys, cross-section calculating, algorithm